

新日本製鐵 名古屋製鐵所 銭木康夫 小篠忠信  
田村喜昌 ○野呂克彦

**1. 緒言** 冷延鋼板は表面性状の良好さが厳しく要求されるため、連續鋳造により冷延用アルミニキルド鋼を製造する場合には、この点を考慮した操業条件の選定が必要となる。本報告は、アルミニキルド鋼冷延鋼板の表面品位安定のためになされた一連の操業条件最適化の処置にかんし、特に鋳型添加剤の選定について述べたものである。

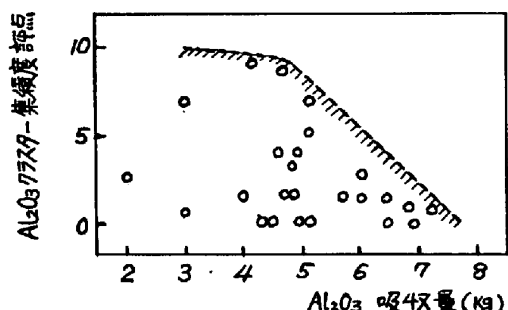
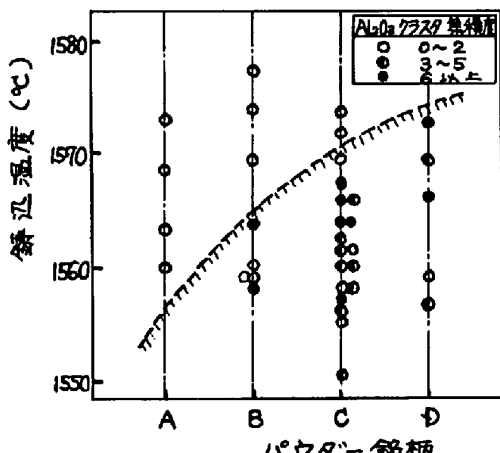
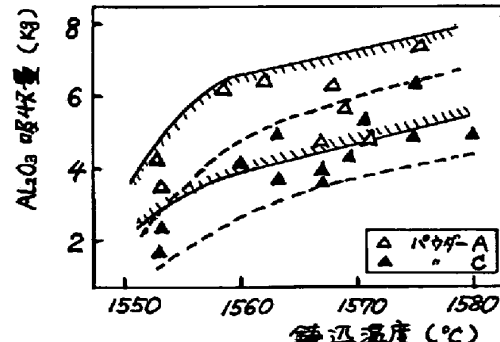
**2. 試験方法** 表1に示す溶融点および塩基度の異なる4種類の鋳型添加剤(パウダー)を選び、鋳片表層部の $\text{Al}_2\text{O}_3$ クラスター集積状態を調査した。さらにパウダースラグによる $\text{Al}_2\text{O}_3$ 吸収量と鋳片表層部の $\text{Al}_2\text{O}_3$ クラスター集積度には図1に示す関係があることが分ったので、パウダーAおよびCについて鋳型内での $\text{Al}_2\text{O}_3$ 吸収能の比較を行なった。

**3. 試験結果** 図2にパウダー銘柄別の鋳片表層部 $\text{Al}_2\text{O}_3$ クラスターの集積度を示すが、比較的低融点のパウダーでは鋳込温度が低下しても集積度が少なり。特に塩基度の高いパウダーAでは非常に良好な結果を示している。さらに図3をみると、AはCに比べて同一鋳込温度でもパウダースラグによる $\text{Al}_2\text{O}_3$ 吸収量が多い。これについては、パウダースラグ中の $\text{Al}_2\text{O}_3$ (%)変化量はA, Cともほぼ同一であるが、Aの方がCに比べ消費量が多く、そのため $\text{Al}_2\text{O}_3$ 吸収能が増加していることがわかった。これは、Aの組成はCに比べてパウダースラグ中の $\text{Al}_2\text{O}_3$ 増加による粘性の増大が小さく、スラグの流動性の低下が少ないためと考えられる。また、図3において鋳込温度が高くなるほど $\text{Al}_2\text{O}_3$ 吸収量は増加し、特に1555°C以下の低温では、急激に $\text{Al}_2\text{O}_3$ 吸収量が低下することがわかった。

**4. 結言** 以上の結果、鋳型添加剤として比較的溶融点が低く、塩基度の高いパウダーを選択すれば、鋳片表層部 $\text{Al}_2\text{O}_3$ クラスターの集積を軽減できることがわかった。さらに鋳込温度はパウダーの $\text{Al}_2\text{O}_3$ 吸収能低下を防ぐために、ある下限温度以上に管理する必要があることがわかった。現在、これらの条件のもとでアルミニキルド鋼を鋳造し、安定して良好な表面品位の冷延鋼板を得ている。

表1. 試験用鋳型添加剤

銘柄	分析成分(%)					溶融点 (°C)	真比重 (g/cm³)	比重 (g/cm³)
	T-C	$\text{SiO}_2$	$\text{Al}_2\text{O}_3$	$\text{CaO}$	$\text{CaO}/\text{SiO}_2$			
A	5.03 ~26.03	31.2 ~36.2	4.0 ~6.0	36.6 ~49.6	1.07 ~1.13	1050~1100	2.60 ~2.80	1.10 ~1.30
B	2.40 ~3.40	33.9 ~37.9	4.0 ~6.0	33.9 ~39.9	0.97 ~1.03	1050~1100	2.65 ~2.85	1.10 ~1.25
C	1.90 ~2.90	36.0 ~41.0	4.0 ~6.0	36.0 ~41.0	0.97 ~1.03	1100~1150	2.60 ~2.80	1.10 ~1.30
D	4.80 ~5.80	34.2 ~37.2	4.0 ~6.0	34.2 ~39.2	0.97 ~1.03	1100~1150	2.60 ~2.80	1.15 ~1.30

図1. パウダースラグによる $\text{Al}_2\text{O}_3$ 吸収量と $\text{Al}_2\text{O}_3$ クラスター集積度の関係図2. パウダーメッキと $\text{Al}_2\text{O}_3$ クラスター集積度との関係図3. 鋳込温度、パウダーメッキと $\text{Al}_2\text{O}_3$ 吸収量との関係